

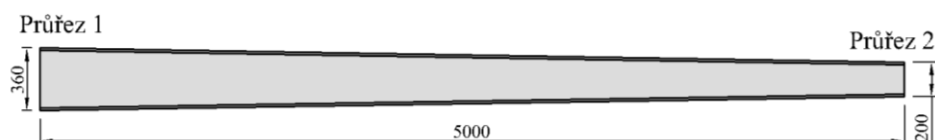
## Posouzení prutu proměnného průřezu namáhaného kombinací osové tlakové síly a ohybového momentu ve smyslu ČSN EN 1993-1-1 (obecná metoda) – řešený příklad

Předmětem příkladu je posouzení prutu proměnného průřezu namáhaného kombinací osového tlaku a ohybového momentu s možnou ztrátou stability jak při tlaku, tak při ohybu. Pro posouzení prutu proměnného průřezu lze použít ustanovení článku 6.3.4 normy ČSN EN 1993-1-1 (obecná metoda pro vzpěr z roviny a klopení aplikovatelná na pruty namáhané tlakem a/nebo ohybem v rovině) [1]. Na vztahy obsažené v této normě je v pravém sloupci odkazováno.

### Vstupní údaje

V rámci úlohy je řešeno posouzení prostého nosníku svařovaného proměnného průřezu z oceli pevnostní třídy S235 o rozpětí  $L = 5$  m. Průřez prutu se po délce lineárně mění z průřezu 1 do průřezu 2. Návrhové hodnoty zatížení jsou  $N_{Ed} = -100,00$  kN (návrhová normálová tlaková síla) a  $f_{z,Ed} = 16,00$  kN/m (návrhové rovnoměrné spojitě zatížení). Nosník je použitý v konstrukci pozemní stavby.

Okrajové podmínky jsou uvažovány jako oboustranné kloubové podepření jak pro ohyb okolo osy  $y$ , tak okolo osy  $z$ . Deplanace průřezu je umožněna v obou podporách. Zatížení působí v úrovni horní pásnice směrem do středu smyku.



### Koncový průřez 1:

$A = 7140,00 \text{ mm}^2$	$t_f = 15,00 \text{ mm}$	
$I_y = 157945500,00 \text{ mm}^4$	$t_w = 8,00 \text{ mm}$	
$I_z = 8451580,00 \text{ mm}^4$	$a = 4,00 \text{ mm}$	
$I_t = 396380,00 \text{ mm}^4$	$c = 65,30 \text{ mm}$	
$I_w = 251487000000,00 \text{ mm}^6$	$d = 318,70 \text{ mm}$	
$W_{el,y} = 877475,00 \text{ mm}^3$	$h = 360,00 \text{ mm}$	
$W_{el,z} = 112688,00 \text{ mm}^3$	$b = 150,00 \text{ mm}$	

### Koncový průřez 2:

$A = 5860,00 \text{ mm}^2$	$t_f = 15,00 \text{ mm}$	
$I_y = 41862833,00 \text{ mm}^4$	$t_w = 8,00 \text{ mm}$	
$I_z = 8444753,00 \text{ mm}^4$	$a = 4,00 \text{ mm}$	
$I_t = 369073,00 \text{ mm}^4$	$c = 65,30 \text{ mm}$	
$I_w = 72255420708,00 \text{ mm}^6$	$d = 158,70 \text{ mm}$	
$W_{el,y} = 418628,00 \text{ mm}^3$	$h = 200,00 \text{ mm}$	
$W_{el,z} = 112597,00 \text{ mm}^3$	$b = 150,00 \text{ mm}$	

## Materiálové charakteristiky

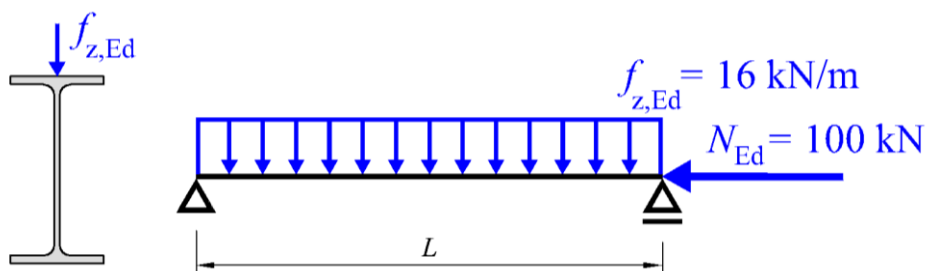
Ocel S235:  $E = 210 \text{ GPa}$ ,  $G = 81 \text{ GPa}$ ,  $f_y = 235 \text{ MPa}$

## Součinitele spolehlivosti

$\gamma_{M0} = 1,00$  (dílní součinitel únosnosti průřezu)

$\gamma_{M1} = 1,00$  (dílní součinitel únosnosti průřezu při posuzování stability prutu)

## Zatížení



## Vnitřní síly

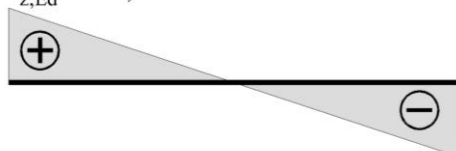


$$N_{Ed} = -100 \text{ kN}$$



$$M_{y,Ed} = 50,00 \text{ kNm}$$

$$V_{z,Ed} = 40,00 \text{ kN}$$



## Zatřídění průřezu

Průřez se po délce mění a může se měnit i jeho zatřídění v jednotlivých řezech. Konzervativně je zatříděn pouze průřez s nejvyšší štíhlostí stojiny a pouze na tlak (koncový průřez).

$$\varepsilon = \sqrt{\frac{235}{f_y}} = \sqrt{\frac{235}{235}} = 1,00$$

Stojina (konzervativně pouze tlak)

$$\frac{d}{t_w} = \frac{318,7}{8} = 39,84 \leq 42 \cdot \varepsilon = 42,00 \rightarrow \text{třída 3}$$

Tab. 5.2

Pásnice (tlak)

$$\frac{c}{t_f} = \frac{65,3}{15} = 4,35 \leq 9 \cdot \varepsilon = 9 \rightarrow \text{třída 1}$$

Tab. 5.2

Průřez je třídy 3.

### Obecná metoda pro vzpěr z roviny a klopení

Posouzení prostřednictvím obecné metody se provede pomocí vztahu (6.63):

$$\frac{\chi_{op} \cdot \alpha_{ult,k}}{\gamma_{M1}} \geq 1 \quad (6.63)$$

Součinitel  $\alpha_{ult,k}$  je nejmenším násobkem návrhového zatížení prutu, při kterém se právě dosáhne hodnota charakteristické únosnosti v rozhodujícím průřezu **při namáhání v rovině a bez uvažování vzpěru z roviny nebo klopení**. Pro jeho stanovení mají být uvažovány účinky imperfekcí prutu v rovině.

Součinitel vzpěrnosti  $\chi_{op}$  se stanoví pro globální poměrnou štíhlost  $\bar{\lambda}_{op}$  pro vzpěr z roviny (out-of-plane) a klopení.

Globální poměrná štíhlost pro vzpěr z roviny a klopení se určí výrazem (6.64), kde  $\alpha_{cr,op}$  je nejmenší násobek návrhových zatížení působících v rovině, při kterém se právě dosáhne pružná kritická únosnost prutu stanovená **s ohledem na vzpěr z roviny a klopení, ale bez uvažování ztráty stability v rovině**.

$$\bar{\lambda}_{op} = \sqrt{\frac{\alpha_{ult,k}}{\alpha_{cr,op}}} \quad (6.64)$$

Hodnoty  $\alpha_{cr,op}$  a  $\alpha_{ult,k}$  lze určit numerickou analýzou. Jednotlivé kroky analýzy jsou shrnuty v následujících odstavcích.

Jsou představeny dvě možnosti přístupu k řešení úlohy:

- 1) Určení součinitele  $\alpha_{ult,k}$  pomocí interakčního vztahu pro posouzení osového tlaku a ohybu a součinitele  $\alpha_{cr,op}$  metodou konečných prvků pomocí stabilitní analýzy (LBA analýza);
- 2) Určení součinitele  $\alpha_{ult,k}$  pomocí geometricky a materiálově nelineární analýzy prutu s imperfekcemi (GMNIA analýza) metodou konečných prvků a součinitele  $\alpha_{cr,op}$  metodou konečných prvků pomocí stabilitní analýzy (LBA analýza).

### Obecná metoda – přístup 1

V rámci přístupu 1 se součinitel  $\alpha_{ult,k}$  pro namáhání v rovině určí pomocí interakčního vztahu (6.61) zahrnujícího vzpěr v rovině (prostřednictvím součinitele klopení  $\chi_y$ ). Tento výraz však zahrnuje i účinky klopení (prostřednictvím součinitele klopení  $\chi_{LT}$ ) – proto je nutno (v souladu s definicí součinitele  $\alpha_{ult,k}$ ) uvažovat součinitel  $\chi_{LT} = 1,00$ . Ostatní hodnoty vyskytující se ve výrazu (6.61) jsou určeny standardními postupy, a sice pro rozhodující průřez prutu.

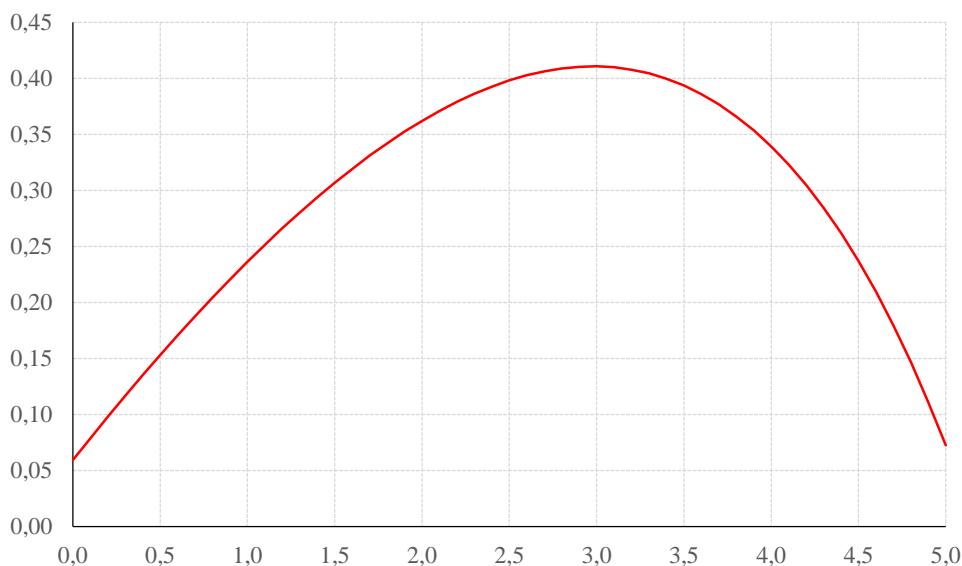
$$\frac{N_{Ed}}{\chi_y \cdot N_{Rk}} + k_{yy} \cdot \frac{M_{y,Ed} + \Delta M_{y,Ed}}{\chi_{LT} \cdot M_{y,Rk}} \leq 1 \quad (6.61)$$

$$\frac{1}{\alpha_{ult,k}} = \frac{N_{Ed}}{\chi_y \cdot N_{Rk}} + k_{yy} \cdot \frac{M_{y,Ed} + \Delta M_{y,Ed}}{\chi_{LT} \cdot M_{y,Rk}}$$

### Stanovení rozhodujícího průřezu prutu pro prosté způsoby namáhání

Využití průřezu  $u$  pro prostý tlak s prostým ohybem se pro třídu průřezu 3 stanoví následujícím výrazem, který je nutno vyčíslit pro všechny řezy  $x$  řešeného prutu (s ohledem na měnící se průřezové charakteristiky a vnitřní síly v jednotlivých řezech). Z grafu zobrazujícího průběh funkce využití průřezu  $u(x)$  lze odečíst polohu rozhodujícího průřezu v místě  $x = 3,10$  m.

$$u(x) = \frac{N_{Ed}(x)}{A(x) \cdot f_y} + \frac{M_{y,Ed}(x)}{W_{el,y}(x) \cdot f_y}$$



Příslušné průřezové charakteristiky v rozhodujícím průřezu:

$A =$	6346,00 mm <sup>2</sup>	$t_f =$	15,00 mm	
$I_y =$	76250488,00 mm <sup>4</sup>	$t_w =$	8,00 mm	
$I_z =$	8447347,00 mm <sup>4</sup>	$a =$	4,00 mm	
$I_t =$	379450,00 mm <sup>4</sup>	$c =$	56,50 mm	
$I_w =$	127592000000,00 mm <sup>6</sup>	$d =$	219,70 mm	
$W_{el,y} =$	584743,00 mm <sup>3</sup>	$h =$	261,00 mm	
$W_{el,z} =$	112631,00 mm <sup>3</sup>	$b =$	150,00 mm	

### Návrhové vnitřní síly

$$N_{Ed} = 100,00 \text{ kN}$$

$$M_{y,Ed} = 50,00 \text{ kNm}$$

$$M_{z,Ed} = 0,00 \text{ kNm}$$

### Charakteristické únosnosti v tlaku a v ohybu

$$N_{Rk} = A \cdot f_y = 6346 \cdot 10^{-6} \cdot 235 \cdot 10^6 = 1491,31 \text{ kN} \quad \text{Tab. 6.7}$$

$$M_{y,Rk} = W_{el,y} \cdot f_y = 584743 \cdot 10^{-9} \cdot 235 \cdot 10^6 = 137,41 \text{ kNm} \quad \text{Tab. 6.7}$$

### Návrhové elastické únosnosti v ohybu

$$M_{el,y,Rd} = \frac{W_{el,y} \cdot f_y}{\gamma_{M0}} = \frac{584743 \cdot 10^{-9} \cdot 235 \cdot 10^6}{1,00} = 137,41 \text{ kNm} \quad (6.14)$$

$$M_{el,z,Rd} = \frac{W_{el,z} \cdot f_y}{\gamma_{M0}} = \frac{112631 \cdot 10^{-9} \cdot 235 \cdot 10^6}{1,00} = 26,47 \text{ kNm} \quad (6.14)$$

### Vzpěrné délky

$$L_{cr,y} = k_y \cdot L = 1 \cdot 5 = 5 \text{ m}$$

$$L_{cr,z} = k_z \cdot L = 1 \cdot 5 = 5 \text{ m}$$

### Výpočet součinitele vzpěrnosti $\chi_y$ (vzpěr v rovině)

Vzpěr kolmo k ose y

Pro výpočet kritické síly se v případě proměnného průřezu uvažuje s ekvivalentním momentem setrvačnosti  $I_{y,eq}$ :

$$r = \sqrt{\frac{I_{y,\min}}{I_{y,\max}}} = \sqrt{\frac{41862833}{157945500}} = 0,51 \quad [2]$$

$$C = 0,08 + 0,92 \cdot r = 0,08 + 0,92 \cdot 0,51 = 0,55 \quad [2]$$

$$I_{y,eq} = C \cdot I_{y,\max} = 0,55 \cdot 157945500 = 86870025 \text{ mm}^4 \quad [2]$$

$$N_{cr,y} = \frac{\pi^2 \cdot E \cdot I_{y,eq}}{L_{cr,y}^2} = \frac{\pi^2 \cdot 210 \cdot 10^9 \cdot 86870025 \cdot 10^{-12}}{5^2} = 7201,93 \text{ kN}$$

$$\bar{\lambda}_y = \sqrt{\frac{A \cdot f_y}{N_{cr,y}}} = \sqrt{\frac{6346 \cdot 235}{7201930}} = 0,46 \quad 6.3.1.2$$

Křivka vzpěrné pevnosti  $b$  (svařovaný průřez;  $t_f < 40$  mm),  $\alpha = 0,34$

Tab. 6.2

$$\Phi_y = 0,5 \cdot \left[ 1 + \alpha \cdot (\bar{\lambda}_y - 0,2) + \bar{\lambda}_y^2 \right] = 0,5 \cdot \left[ 1 + 0,34 \cdot (0,46 - 0,2) + 0,46^2 \right] = 0,65$$

6.3.1.2

$$\chi_y = \frac{1}{\Phi_y + \sqrt{\Phi_y^2 - \bar{\lambda}_y^2}} = \frac{1}{0,65 + \sqrt{0,65^2 - 0,46^2}} = 0,90$$

6.3.1.2

### Výpočet součinitelů interakce $k_{yy}$ , $k_{yz}$ , $k_{zy}$ , $k_{zz}$

Pro určení součinitelů interakce jsou k dispozici dvě metody: metoda 1 a metoda 2. Pro použití v ČR je doporučena metoda 2. Při výpočtu se rozlišuje, zda je prut náchylný ke zkroucení či nikoli.

#### Metoda 2

[2]

Podle metody 2 mohou být jako nenáchylné ke zkroucení považovány tyto prvky:

- prvky s průřezem kruhové trubky
- prvky s průřezem obdélníkové trubky za předpokladu, že  $h / b \leq 10 / \bar{\lambda}_z$
- prvky otevřeného průřezu za předpokladu, že jsou příčně průběžně (spojitě) podepřeny proti příčnému posunu a natočení, tedy pokud jsou splněny podmínky (BB.2) a (BB.4) v ČSN EN 1993-1-1, příl. BB.

V řešeném příkladu je prut považován za náchylný ke zkroucení, jelikož žádná z výše uvedených podmínek není splněna.

Interakční součinitele pro prvky náchylné ke zkroucení se určí dle Tab. B.2. Pro řešenou úlohu se uplatní hodnoty pro pružnostní návrh (jedná se o průřez třídy 3).

$$k_{yy} = C_{my} \cdot \left[ \left( 1 + 0,6 \cdot \bar{\lambda}_y \cdot \frac{N_{Ed}}{\chi_y \cdot N_{Rk}} \right) \right] \leq C_{my} \cdot \left( 1 + 0,6 \cdot \frac{N_{Ed}}{\chi_y \cdot N_{Rk}} \right)$$

Tab. B.2

$$k_{yz} = k_{zz}$$

Tab. B.2

$$k_{zy} = \left[ 1 - \frac{0,05 \cdot \bar{\lambda}_z}{(C_{mLT} - 0,25)} \cdot \frac{N_{Ed}}{\chi_z \cdot N_{Rk}} \right] \geq \left[ 1 - \frac{0,05}{(C_{mLT} - 0,25)} \cdot \frac{N_{Ed}}{\chi_z \cdot N_{Rk}} \right]$$

Tab. B.2

$$k_{zz} = C_{mz} \cdot \left[ \left( 1 + 0,6 \cdot \bar{\lambda}_z \cdot \frac{N_{Ed}}{\chi_z \cdot N_{Rk}} \right) \right] \leq C_{mz} \cdot \left( 1 + 0,6 \cdot \frac{N_{Ed}}{\chi_z \cdot N_{Rk}} \right)$$

Tab. B.2

V rámci řešeného příkladu se uplatňuje pouze součinitel  $k_{yy}$  (moment  $M_{z,Ed} = 0$  kNm).

Vyčíslení součinitelů ekvivalentního konstantního momentu

Součinitel  $C_{my}$

Vzdálenost bodů podepřených ve směru  $z$  je shodná s rozpětím. Moment mezi těmito body má parabolický průběh.

$$\psi = 0$$

$$\alpha_h = \frac{M_h}{M_s} = \frac{0,00}{50,00} = 0,00$$

$$C_{my} = 0,95 + 0,05 \cdot \alpha_h = 0,95 + 0,05 \cdot 0,00 = 0,95$$

Tab. B.3

Tab. B.3

Tab. B.3

Interakční součinitel  $k_{yy}$

$$k_{yy} = C_{my} \cdot \left[ \left( 1 + 0,6 \cdot \bar{\lambda}_y \cdot \frac{N_{Ed}}{\chi_y \cdot N_{Rk}} \right) \right] = 0,95 \cdot \left[ \left( 1 + 0,6 \cdot 0,46 \cdot \frac{100,00}{0,90 \cdot 1491,31} \right) \right] =$$

$$= 0,97 \leq C_{my} \cdot \left( 1 + 0,6 \cdot \frac{N_{Ed}}{\chi_y \cdot N_{Rk}} \right) = 0,95 \cdot \left( 1 + 0,6 \cdot \frac{100,00}{0,90 \cdot 1491,31} \right) = 0,99$$

Tab. B.1

**Určení součinitele  $\alpha_{ult,k}$**

$$\alpha_{ult,k} = \frac{1}{\frac{N_{Ed}}{\chi_y \cdot N_{Rk}} + k_{yy} \cdot \frac{M_{y,Ed} + \Delta M_{y,Ed}}{\chi_{LT} \cdot M_{y,Rk}}} =$$

$$= \frac{1}{\frac{100}{0,90 \cdot 1491,31} + 0,97 \cdot \frac{50,00 + 0,00}{1,00 \cdot 137,41}} = 2,339$$

Pro určení součinitele  $\alpha_{ult,k}$  byl použitý interakční vztah platný pouze pro pruty stálého průřezu. Výslednou hodnotu součinitele  $\alpha_{ult,k}$  je nutno chápat jako přibližnou. Příslušný konstrukční návrh je v takovém případě nutno posoudit také kvalifikovaným inženýrským úsudkem.

„Přesnému“ řešení se lze přiblížit např. použitím přístupu 2 (viz dále).

**Určení součinitele  $\alpha_{cr,op}$**

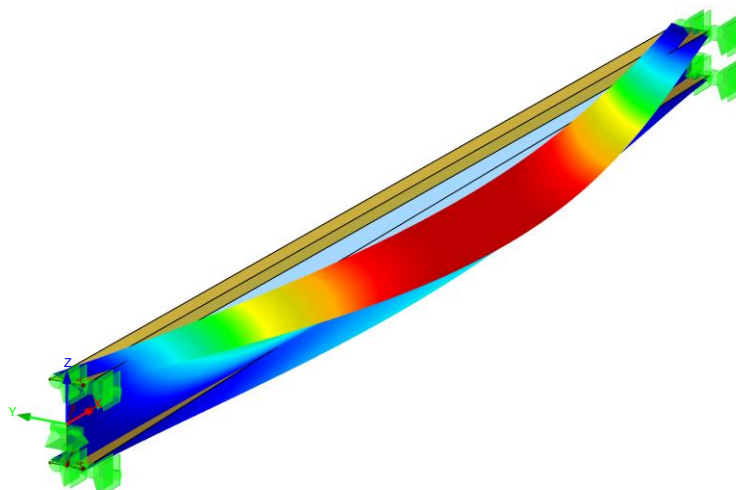
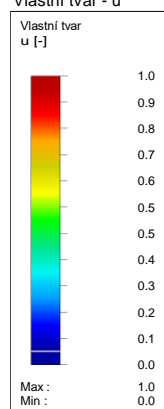
Součinitel  $\alpha_{cr,op}$  je součinitel kritického zatížení pro ztráty stability prutu z roviny namáhání. K jeho určení je použita numerická stabilitní analýza (LBA analýza, analýza

vlastních tvarů) aplikovaná na deskostěnový model prutu. Okrajové podmínky modelu odpovídají prostému podepření nosníku s vidlicovým uložením v podporách (je zabráněno posunu ve směru osy  $y$  průřezu; deplanace je volná).

Pro výpočet byl použit software založený na metodě konečných prvků [3].

Výsledkem stabilitní analýzy je nejnižší tvar vybočení odpovídající ztrátě stability z roviny ohybu – v řešeném případě se jedná o první vlastní tvar s příslušným součinitelem kritického zatížení  $\alpha_{cr,op} = 2,289$ .

RF-STABILITY PŘ1  
 Vlastní tvar č. 1 - 2.28935  
 Vlastní tvar - u



Výpočet globální poměrné štíhlosti a součinitele vzpěrnosti pro ztrátu stability z roviny

$$\bar{\lambda}_{op} = \sqrt{\frac{\alpha_{ult,k}}{\alpha_{cr,op}}} = \sqrt{\frac{2,339}{2,289}} = 1,01 \quad (6.64)$$

Vzpěr kolmo k ose  $z$

Křivka vzpěrné pevnosti  $c$  (svařovaný průřez;  $t_f < 40$  mm),  $\alpha = 0,49$  Tab. 6.2

$$\Phi_z = 0,5 \cdot [1 + \alpha \cdot (\bar{\lambda}_{op} - 0,2) + \bar{\lambda}_{op}^2] = 0,5 \cdot [1 + 0,49 \cdot (1,01 - 0,2) + 1,01^2] = 1,21 \quad 6.3.1.2$$

$$\chi_z = \frac{1}{\Phi_z + \sqrt{\Phi_z^2 - \bar{\lambda}_{op}^2}} = \frac{1}{1,21 + \sqrt{1,21^2 - 1,01^2}} = 0,53 \quad 6.3.1.2$$

Klopení

Křivka vzpěrné pevnosti  $c$  (svařovaný průřez;  $h / b = 261 / 150 = 1,74 < 2$ ),  $\alpha = 0,49$  Tab. 6.4

$$\Phi_{LT} = 0,5 \cdot [1 + \alpha \cdot (\bar{\lambda}_{op} - 0,2) + \bar{\lambda}_{op}^2] = 0,5 \cdot [1 + 0,49 \cdot (1,01 - 0,2) + 1,01^2] = 1,21 \quad 6.3.2.2$$

$$\chi_{LT} = \frac{1}{\Phi_{LT} + \sqrt{\Phi_{LT}^2 - \bar{\lambda}_{op}^2}} = \frac{1}{1,21 + \sqrt{1,21^2 - 1,01^2}} = 0,53 \quad 6.3.2.2$$



Výsledný součinitel vzpěrnosti

$$\chi_{op} = \min \{ \chi_z; \chi_{LT} \} = \min \{ 0,53; 0,53 \} = 0,53$$

6.3.4

### Posouzení obecnou metodou

$$\frac{\chi_{op} \cdot \alpha_{ult,k}}{\gamma_{M1}} = \frac{0,53 \cdot 2,339}{1,00} = 1,24 \geq 1$$

(6.63)

Prut vyhovuje.

## Obecná metoda – přístup 2

Jak hodnota součinitele  $\alpha_{ult,k}$ , tak hodnota součinitele  $\alpha_{cr,op}$  je určena metodou konečných prvků.

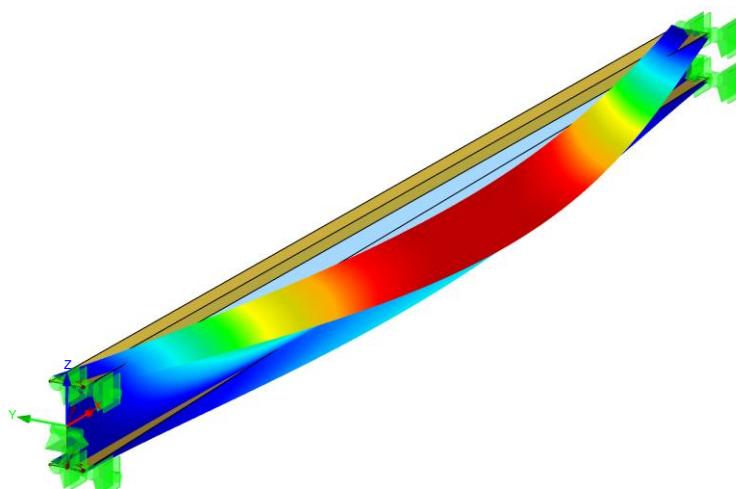
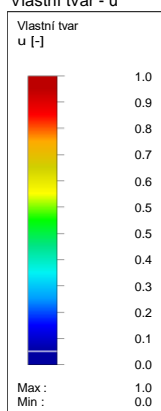
### Určení součinitele $\alpha_{cr,op}$

Součinitel  $\alpha_{cr,op}$  je součinitel kritického zatížení pro ztráty stability prutu z roviny namáhání. K jeho určení je použita numerická stabilitní analýza (LBA analýza, analýza vlastních tvarů) aplikovaná na deskostěnový model prutu. Okrajové podmínky modelu odpovídají prostému podepření nosníku s vidlicovým uložením v podporách (je zabráněno posunu ve směru osy y průřezu; deplanace je volná).

Pro výpočet byl použit software založený na metodě konečných prvků [3].

Výsledkem stabilitní analýzy je nejnižší tvar vybočení odpovídající ztrátě stability z roviny ohybu – v řešeném případě se jedná o první vlastní tvar s příslušným součinitelem kritického zatížení  $\alpha_{cr,op} = 2,289$  (stejný postup jako ve výše uvedeném přístupu 1).

RF-STABILITY PŘ1  
Vlastní tvar č. 1 - 2.28935  
Vlastní tvar - u

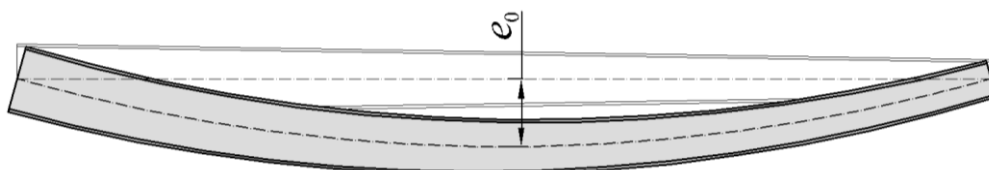


### Určení součinitele $\alpha_{ult,k}$

Součinitel  $\alpha_{ult,k}$  je určen pomocí geometricky a materiálově nelineární analýzy prutu s imperfekcemi pro ztráty stability v rovině (kolmo k ose  $y$ ). Pro daný průřez se pro vybočení v rovině uvažuje křivka vzpěrné pevnosti  $b$  (svařovaný průřez,  $t_f \leq 40$  mm), čemuž odpovídá počáteční imperfekce ve tvaru počátečního prohnutí prutu o amplitudě  $e_0 = L / 250$  (pružnostní analýza).

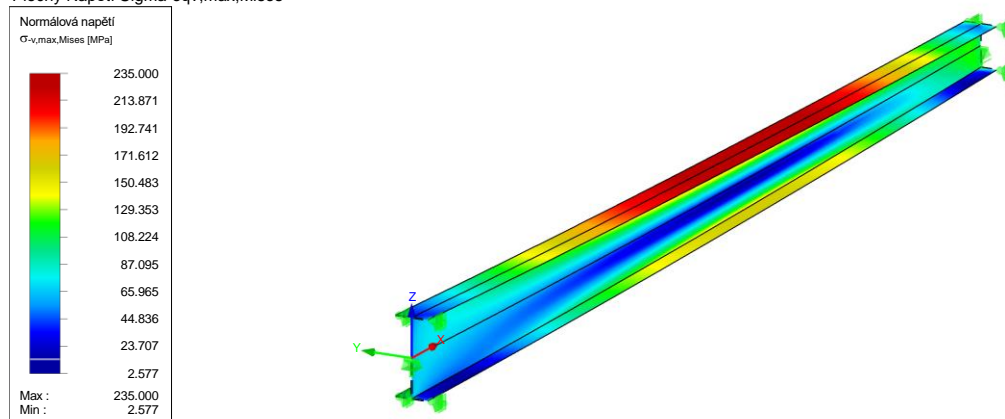
$$e_0 = \frac{L}{250} = \frac{5000}{250} = 20 \text{ mm}$$

Tab. 5.1



Pro určení součinitele  $\alpha_{ult,k}$  byl v programu [3] vytvořen deskostěnový prostorový model řešeného prutu se zakřivením o amplitudě 20 mm v rovině zatížení. Okrajové podmínky odpovídaly modelu použitému pro LBA analýzu. Materiál byl zadán jako plastický (nelineární) s mezí kluzu 235 MPa. Byla provedena GMNIA analýza, tedy geometricky (výpočet dle teorie II. řádu) i materiálově nelineární analýza prutu s imperfekcí. Zatížení bylo zvyšováno až do okamžiku, kdy bylo v nejméně namáhaných vláknech prutu dosaženo meze kluzu 235 MPa. Hledaný násobek zatížení, při kterém dosažení meze kluzu nastalo, byl roven 2,323, což je hodnota hledaného součinitele  $\alpha_{ult,k}$ . Výsledek lze interpretovat tak, že meze kluzu je dosaženo při zatížení  $N_{Ed} = 2,323 \cdot 100,00 = 232,30$  kN a  $q_{z,Ed} = 2,323 \cdot 16 = 37,17$  kN/m.

ZS 1: zatizeni  
 Faktor ZS: 2.3226 ( zpětné dělení výsledků faktorem KZ - ne )  
 Plochy Napětí Sigma-eqv,max,Mises



Výpočet globální poměrné štíhlosti a součinitele vzpěrnosti pro ztráty stability z rovině

$$\bar{\lambda}_{op} = \sqrt{\frac{\alpha_{ult,k}}{\alpha_{cr,op}}} = \sqrt{\frac{2,323}{2,289}} = 1,01 \quad (6.64)$$

Vzpěr kolmo k ose  $z$

Křivka vzpěrné pevnosti  $c$  (svařovaný průřez;  $t_f < 40$  mm),  $\alpha = 0,49$

$$\Phi_z = 0,5 \cdot [1 + \alpha \cdot (\bar{\lambda}_{op} - 0,2) + \bar{\lambda}_{op}^2] = 0,5 \cdot [1 + 0,49 \cdot (1,01 - 0,2) + 1,01^2] = 1,21 \quad 6.3.1.2$$

$$\chi_z = \frac{1}{\Phi_z + \sqrt{\Phi_z^2 - \bar{\lambda}_{op}^2}} = \frac{1}{1,21 + \sqrt{1,21^2 - 1,01^2}} = 0,53 \quad 6.3.1.2$$

Klopení

Křivka vzpěrné pevnosti  $c$  (svařovaný průřez;  $h / b = 261 / 150 = 1,74 < 2$ ),  $\alpha = 0,49$

$$\Phi_{LT} = 0,5 \cdot [1 + \alpha \cdot (\bar{\lambda}_{op} - 0,2) + \bar{\lambda}_{op}^2] = 0,5 \cdot [1 + 0,49 \cdot (1,01 - 0,2) + 1,01^2] = 1,21 \quad 6.3.2.2$$

$$\chi_{LT} = \frac{1}{\Phi_{LT} + \sqrt{\Phi_{LT}^2 - \bar{\lambda}_{op}^2}} = \frac{1}{1,21 + \sqrt{1,21^2 - 1,01^2}} = 0,53 \quad 6.3.2.2$$

Výsledný součinitel vzpěrnosti

$$\chi_{op} = \min \{ \chi_z; \chi_{LT} \} = \min \{ 0,53; 0,53 \} = 0,53 \quad 6.3.4$$

### Posouzení obecnou metodou

$$\frac{\chi_{op} \cdot \alpha_{ult,k}}{\gamma_{M1}} = \frac{0,53 \cdot 2,323}{1,00} = 1,23 \geq 1 \quad (6.63)$$

Prut vyhovuje.

### Použité zdroje

- [1] ČSN EN 1993-1-1 Eurokód 3: Navrhování ocelových konstrukcí – Část 1-1: Obecná pravidla a pravidla pro pozemní stavby. Praha: Český normalizační institut, 2006.
- [2] DA SILVA, L. S., SIMÕES, R., GERVÁSIO, H. *Design of Steel Structures*. Berlin: ECCS – European Convention for Constructional Steelwork, 2016. ISBN 978-92-9147-134-8.
- [3] DLUBAL RFEM 5.16. Dlubal Software GmbH.